

Геометрическая мера перепутанности для трехчастичных W -состояний

М.В.Вольнец, В.Н.Горбачев, А.В.Жулис, А.Я.Казаков, Г.П.Сахарова

Введена геометрическая мера перепутанности для W -состояний и получены ее точные аналитические выражения. На основе численного расчета рассмотрена степень перепутанности для некоторых состояний этого класса, используемых в качестве квантового канала в задачах квантовой теории информации.

Ключевые слова: перепутанные состояния, мера перепутанности, квантовый канал.

1. Введение

Перепутанные состояния имеют особую корреляцию, которая представляет интерес для задач квантовой теории информации. Такие состояния используются как квантовый канал в процессах типа телепортации, плотного кодирования, распределения ключа и других. Качество квантового канала, а следовательно, и его потенциал, определяется прежде всего степенью корреляций, или перепутанности. Так, для задачи плотного кодирования пропускная способность квантового канала, образованного ЭПР-парой (Эйнштейн – Подольский – Розен), непосредственно определяется степенью ее перепутанности, которая в случае чистого двухчастичного состояния равна энтропии одной из частиц. Однако если квантовая система находится в смешанном состоянии или состоит более чем из двух частиц, единая мера перепутанности не известна. Это связано с тем, что корреляции в многочастичной системе с физической точки зрения могут быть весьма разнообразны.

Несмотря на отсутствие универсальной меры, имеется необходимость в критериях перепутанности. Прежде всего это относится к экспериментам, где генерируются перепутанные состояния, которые требуется идентифицировать в опыте. При теоретическом рассмотрении найденного состояния следует использовать все возможные критерии, чтобы полнее определить его свойства. В связи с этим разработка критериев и мер, характеризующих перепутанные состояния, представляется важной задачей.

Геометрическая мера перепутанности была введена в [1] и обсуждалась в [2]. Однако в этих работах не было получено удобных аналитических результатов, позволяющих охарактеризовать заданные состояния. В настоящей работе, следуя [3], введена геометрическая мера пе-

репутанности для специального класса состояний – W -состояний; полученные результаты позволяют аналитически представить меру перепутанности для них. Данный набор состояний представляет интерес для квантовых информационных процессов, ряд из них реализован и исследован в эксперименте, а описание их свойств и применений, а также схему генерации можно найти в работе [4].

2. W -состояния

Рассмотрим W -состояния, для которых далее будет введена мера перепутанности. Они описывают многочастичные двухуровневые системы, в том числе системы с одной возбужденной частицей, и в частных случаях сводятся к состояниям Дике [5].

Трехчастичное W -состояние имеет вид

$$\Psi = p_{000}|000\rangle + p_{100}|100\rangle + p_{010}|010\rangle + p_{001}|001\rangle, \quad (1)$$

где $|p_{000}|^2 + |p_{100}|^2 + |p_{010}|^2 + |p_{001}|^2 = 1$. Частный случай $W = (1/\sqrt{3})(|100\rangle + |010\rangle + |001\rangle)$ известен в квантовой теории информации как W -состояние [6]. Для $p_{000} = 0$ и при условии $p_{100} + p_{010} + p_{001} = 0$ возникают состояния Дике с $j = 3/2$, $m = 1/2$, где j, m – собственные числа, которые отвечают собственным векторам двух коллективных операторов $J^2 = J_1^2 + J_2^2 + J_3^2$, а операторы J_k ($k = 1, 2, 3$) удовлетворяют коммутационным соотношениям операторов углового момента [4]. В этом случае справедливо представление через антисимметричные волновые функции

$$\eta = \sqrt{2}[p_{010}|\Psi^-\rangle_{12}|0\rangle_3 + p_{001}|\Psi^-\rangle_{13}|0\rangle_2], \quad (2)$$

где $|\Psi^-\rangle = (1/\sqrt{2})(|01\rangle - |10\rangle)$.

Поскольку мера перепутанности не изменяется при локальных унитарных преобразованиях, то наряду с состоянием (1) можно рассматривать и ряд других. Так, с помощью замены $0 \rightarrow 1$ найдем $\Psi_1 = p_{011}|011\rangle + p_{101}|101\rangle + p_{110}|110\rangle$. Эта волновая функция описывает состояние, которое получается, например, при распределении двух возбуждений между тремя двухуровневыми частицами, и может быть реализована при параметрическом взаимодействии света в прозрачной нелинейной среде. Для этого нужно, чтобы одновременно происходило три про-

М.В.Вольнец, В.Н.Горбачев, А.В.Жулис, Г.П.Сахарова. Северо-Западный институт печати Санкт-Петербургского государственного университета технологии и дизайна, Россия, 191180 С.-Петербург, пер. Джамбула, 13; e-mail: valery.gorbachev@gmail.com
А.Я.Казаков. Государственный университет аэрокосмического приборостроения, Россия, 190000 С.-Петербург, Большая Морская ул., 67

процесса деления частоты, в каждом из которых три классические волны накачки преобразуются в пары фотонов $a - b, a - c, b - c$. Такое взаимодействие можно описать эффективным гамильтонианом $H_{\text{eff}} = i\hbar(k_1 a^\dagger b^\dagger + k_2 a^\dagger c^\dagger + k_3 b^\dagger c^\dagger - k_1 ab - k_2 ac - k_3 bc)$, где a, b, c – операторы уничтожения мод, а k_x ($x = 1, 2, 3$) – константы взаимодействия. Такой процесс рассмотрен в [7], и известна его экспериментальная реализация, когда состояния $|0\rangle, |1\rangle$ отвечают фокковским состояниям света.

Состояния W отличаются от хорошо известных GHZ-состояний (Grinberger–Horne–Zeilinger), характерный представитель которых $\text{GHZ} = (1/\sqrt{2})(|000\rangle + |111\rangle)$. Основное различие связано с тем, что они не могут быть связаны между собой локальными унитарными преобразованиями [6], а следовательно, характер перепутанности у них разный. В качестве иллюстрации укажем в явном виде связь между состояниями GHZ и $W^* = (1/\sqrt{2})|011\rangle + (1/2)(|010\rangle + |100\rangle)$, которая осуществляется нелокальным унитарным двухчастичным оператором:

$$(1 \otimes V)|\text{GHZ}\rangle_{ABC} = |W^*\rangle, \quad (3)$$

где $V = |\Psi^+\rangle\langle 11| + |00\rangle\langle 10| + |\Psi^-\rangle\langle 01| + |11\rangle\langle 00|$; $\Psi^\pm = (|10\rangle \pm |01\rangle)/\sqrt{2}$. Известно, что состояние GHZ может быть использовано в качестве квантового канала для телепортации как одной частицы [8], так и неизвестного перепутанного состояния [9]. Квантовый канал, образованный W -состояниями в этих же случаях, исследован в работах [10] и [11] соответственно.

3. Мера перепутанности

Под геометрической мерой перепутанности будем понимать расстояние между заданным W -состоянием, определенным согласно (1), и множеством всех трехчастичных факторизованных состояний. Тогда вычисление меры или указанного расстояния представляет собой решение вариационной задачи, поскольку требуется найти минимальное расстояние до множества факторизованных, или неперепутанных состояний.

Множество неперепутанных состояний

$$\phi = \varphi_1 \otimes \varphi_2 \otimes \varphi_3, \quad (4)$$

где $\varphi_k = u_k|0\rangle + z_k|1\rangle$, а условие нормировки определяется соотношением $\bigotimes_k (|u_k|^2 + |z_k|^2) = 1, k = 1, 2, 3$. В качестве меры перепутанности заданного состояния Ψ будем рассматривать расстояние $E(123)(\Psi)$:

$$E(123)(\Psi) = \min_{\Phi \in \Omega(123)} \text{dist}(\Phi, \Psi), \quad (5)$$

где $\text{dist}(\Phi, \Psi) = (|\Phi - \Psi|^2)^{1/2}$; $\Omega(123) = \phi$. Это задача поиска минимума функции $\text{dist}^2(\Phi, \Psi) = |\Phi - \Psi|^2 = (\Psi - \Phi; \Psi - \Phi)$ на множестве ϕ . Условие (5) имеет простой смысл: оно эквивалентно максимальному значению $(\Psi; \Phi)$, известному в квантовой теории информации как fidelity, которое показывает, с какой вероятностью состояние Φ содержит состояние Ψ , или наоборот.

С использованием неопределенных множителей Лагранжа задача (5) сводится к нахождению стационарной точки функции

$$Q = 2 - (\Psi; \varphi) - (\varphi; \Psi) + \lambda \bigotimes_k (|u_k|^2 + |z_k|^2) - 1 = 0. \quad (6)$$

Соответствующие вариационные уравнения приводят к следующей системе алгебраических уравнений:

$$\lambda u_1^* (|u_2|^2 + |z_2|^2) (|u_3|^2 + |z_3|^2) = p_{000}^* + p_{010}^* z_2 u_3 + p_{001}^* u_2 z_3,$$

$$\lambda z_1^* (|u_2|^2 + |z_2|^2) (|u_3|^2 + |z_3|^2) = p_{100}^* u_2 u_3,$$

$$\lambda u_2^* (|u_1|^2 + |z_1|^2) (|u_3|^2 + |z_3|^2) = p_{000}^* + p_{010}^* z_1 u_3 + p_{001}^* u_1 z_3,$$

$$\lambda z_2^* (|u_1|^2 + |z_1|^2) (|u_3|^2 + |z_3|^2) = p_{010}^* u_1 u_3,$$

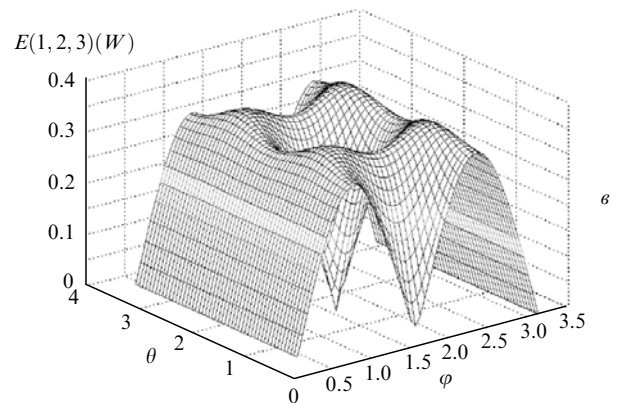
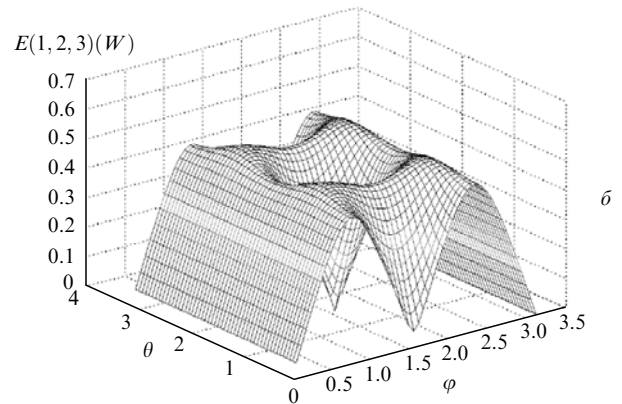
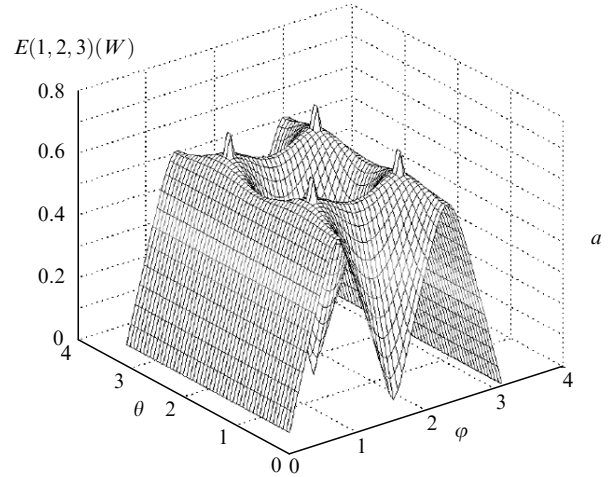


Рис.1. Геометрическая мера перепутанности W -состояния при $p_{000} = 0.2$ (а), 0.4 (б) и 0.6 (в).

$$\lambda u_3^* (|u_1|^2 + |z_1|^2)(|u_2|^2 + |z_2|^2) = p_{000}^* + p_{010}^* z_2 u_1 + p_{100}^* u_2 z_1,$$

$$\lambda z_3^* (|u_1|^2 + |z_1|^2)(|u_3|^2 + |z_3|^2) = p_{001}^* u_2 u_1.$$

Используя замену переменных $c_k = z_k/u_k$ ($k = 1, 2, 3$), запишем эту систему уравнений в виде

$$c_1 = \frac{p_{100}^*}{p_{000} + p_{010} c_2^* + p_{001} c_3^*},$$

$$c_2 = \frac{p_{010}^*}{p_{000} + p_{010} c_1^* + p_{001} c_3^*},$$

$$c_3 = \frac{p_{001}^*}{p_{000} + p_{010} c_2^* + p_{001} c_1^*}.$$

Решая эти уравнения, найдем интересующую нас величину $E(1, 2, 3)(W) = [2(1 - F_{\max})]^{1/2}$, где F_{\max} – максимальное значение fidelity:

$$|(\Psi, \varphi)| = \frac{p_{000} + |p_{100}| \rho_1 + |p_{010}| \rho_2 + |p_{001}| \rho_3}{[(1 + \rho_1^2)(1 + \rho_2^2)(1 + \rho_3^2)]^{1/2}}.$$

Здесь величины $\rho_{1,2,3}$ связаны уравнением

$$|p_{100}|Z(\rho_1) = |p_{010}|Z(\rho_2) = |p_{001}|Z(\rho_3), \quad (8)$$

где $Z(x) = x + 1/x$. Для одного из неизвестных можно записать замкнутое уравнение

$$p_{000} = \pm T(\rho_1), \quad (9)$$

где

$$T(\rho) = \frac{|p_{100}|}{\rho} - |p_{010}|Z^{-1} \left[\frac{|p_{100}|}{|p_{010}|} Z(\rho) \right] - |p_{001}|Z^{-1} \left[\frac{|p_{100}|}{|p_{001}|} Z(\rho) \right].$$

Уравнение (9) получено в предположении, что p_{000} вещественно и $p_{000} \geq 0$, $|p_{100}| \geq |p_{010}|$, $|p_{001}|$.

В качестве примера рассмотрим следующий случай. Положим все коэффициенты вещественными и введем параметризацию $p_{100} = q \cos \theta$, $p_{010} = q \sin \theta \cos \varphi$, $p_{001} = q \sin \theta \sin \varphi$, $q = (1 - p_{000}^2)^{1/2}$, где q , θ , φ – сферические координаты. Мера перепутанности W -состояния в зависимости от различных значений p_{000} показана на рис. 1. Она имеет характерный четырехпиковый вид с провалом до нуля в центре поверхности. Видно, что с ростом коэффициента p_{000} величина перепутанности $E(1, 2, 3)(W)$ уменьшается. Это связано с тем, что вес состояния $|000\rangle$ растет и всё состояние в целом оказывается близким к этому факторизованному состоянию. Образованию пиков в $E(1, 2, 3)(W)$ связано с наличием в W -состоянии структуры типа ЭПР-пары $\Psi^\pm = (1/\sqrt{2})(|01\rangle \pm |10\rangle)$, которая сама по себе является максимально перепутанной. Так, перепишывая (1) с учетом принятой параметризации, найдем, например, что $\Psi = (1 - q^2)^{1/2}|000\rangle + q \sin \theta |0\rangle_1 (\cos \varphi |01\rangle + \sin \varphi |10\rangle) + q \cos \theta |100\rangle$. Отсюда видно, что при $\cos \varphi = \sin \varphi$ возникают ЭПР-пары. Наличие провала в центре обусловлено тем, что при $\theta = \varphi = \pi$ наше состояние будет не перепутанным: $[(1 - q^2)^{1/2}|0\rangle + q|1\rangle]|00\rangle$.

1. Shimony A. *Ann. N.Y. Acad. Sci.*, **55**, 675 (1995); Barnum H., Linden N. *J. Phys. A: Math. Gen.*, **34**, 6787 (2001).
2. Wei T.-C., Golbart P.M. *Phys. Rev. A*, **68**, 042307 (2003).
3. Kazakov A.Ya. *Intern. J. Quant. Inform.*, **4**, 907 (2006).
4. Gorbachev V.N., Trubilko A.I. *Laser Phys. Lett.*, **3** (2), 59 (2006).
5. Dicke R. *Phys. Rev.*, **93**, 99 (1954).
6. Dur W., Vidal G., Cirac J.I. *Phys. Rev. A*, **62**, 062314 (2000).
7. Bradley A.S., Olsen M.K., Pfister O., Pooser R.C. *Phys. Rev. A*, **72**, 053805 (2005).
8. Karlsson A., Bourennane M. *Phys. Rev. A*, **58**, 4394 (1998).
9. Горбачев В.Н., Трубилко А.И. *ЖЭТФ*, **118**, 1036 (2000); Marinatto L., Weber T. *Found. Phys. Lett.*, **13**, 119 (2000).
10. Agrawal P., Pati A. *Phys. Rev. A*, **74**, 0602320 (2006).
11. Gorbachev V.N., Trubilko A.I., Rodichkina A.A., Zhiliba A.I. *Quant. Inform. and Comput.*, **2**, 367 (2002); Gorbachev V.N., Trubilko A.I., Rodichkina A.A. *Phys. Lett. A*, **314**, 267 (2003).